

Курсовая работа по теме
«Интегральные уравнения»

Дмитрий Джус

Содержание

1. Предмет работы	3
2. Аналитическое решение	4
3. Решение в виде ряда по собственным функциям интегрального оператора	7
3.1. Теорема Гильберта—Шмидта	7
3.2. Использование теоремы	8
3.3. Применение метода	9
3.3.1. Построение ортонормированной системы собственных функций	9
3.3.2. Вычисление коэффициентов ряда	12
3.4. Реализация	13
3.5. Сравнение с аналитическим решением	15
4. Численное решение	16
4.1. Описание метода	16
4.2. Реализация	17
4.3. Сравнение с аналитическим решением	19
А. Информация о документе	20
Б. Список литературы	20

1. Предмет работы

В настоящей курсовой работе рассматриваются методы решения симметричного неоднородного интегрального уравнения Фредгольма второго рода вида

$$\varphi(x) - \lambda \int_a^b K(x, t) \varphi(t) dt = f(x) \quad (1.1)$$

Точное аналитическое решение было получено путём сведения уравнения с неоднородной краевой задачей. Также предложено приближённое решение в виде ряда по собственным функциям оператора $\hat{I}(f) = \int_a^b K(x, t) f(t) dt$ и численное решение, полученное заменой определённого интеграла приближённой квадратурной формулой трапеций. Используемые методы рассмотрены в [5].

Полученные приближённые решения сопоставлены с точным.

В решении использованы конкретные значения $a = 0$, $b = 1$, $\lambda = 2$ и $f(x) = \operatorname{ch}(x)$, при которых (1.1) принимает вид

$$\varphi(x) - 2 \int_0^1 K(x, t) \varphi(t) dt = \operatorname{ch} x \quad (1.2)$$

Ядро $K(x, t)$ определено следующим образом:

$$K(x, t) = \begin{cases} \frac{\operatorname{ch} x \operatorname{ch}(t-1)}{\operatorname{sh}(1)} & 0 \leq x \leq t \\ \frac{\operatorname{ch} t \operatorname{ch}(x-1)}{\operatorname{sh}(1)} & t < x \leq 1 \end{cases} \quad (1.3)$$

Рассматриваемое ядро является симметричным, поскольку для него выполнено $K(x, t) = K(t, x)$, и Фредгольмовым в силу непрерывности в квадрате $S = 0 \leq x \leq 1$, $0 \leq t \leq 1$. Кроме того, раз $K(x, t)$ представимо в виде суммы $g_1(x)h_1(t) + \dots + g_n(x)h_n(t)$ (в данном случае $n = 1$), ядро вырождено. Таким образом, уравнение (1.2) является интегральным уравнением Фредгольма второго рода с симметричным вырожденным ядром.

2. Аналитическое решение

Рассмотрим метод сведения (1.2) к неоднородной краевой задаче с целью получения точного решения.

Выразим $\varphi(x)$ из (1.2):

$$\varphi(x) = \text{ch } x + \underbrace{\frac{\lambda \text{ch}(x-1)}{\text{sh } 1} \int_0^x \text{ch}(t) \varphi(t) dt}_{I_1(x)} + \underbrace{\frac{\lambda \text{ch } x}{\text{sh } 1} \int_x^1 \text{ch}(t-1) \varphi(t) dt}_{I_2(x)} \quad (2.1)$$

Продифференцируем $\varphi(x)$:

$$\varphi'(x) = \text{sh } x + I_1'(x) + I_2'(x)$$

Применим для вычисления $I_1'(x)$ и $I_2'(x)$ формулу для производной интеграла с пределами, зависящими от переменной дифференцирования (см. [3]):

$$\left[\int_{\alpha(x)}^{\beta(x)} f(t, x) dt \right]' = \int_{\alpha(x)}^{\beta(x)} f_x'(t, x) dt + \beta'(x) \cdot f(\beta(x), x) - \alpha'(x) \cdot f(\alpha(x), x) \quad (2.2)$$

Найдём $I_1'(x)$:

$$\begin{aligned} I_1'(x) &= \left[\frac{\lambda \text{ch}(x-1)}{\text{sh } 1} \int_0^x \text{ch}(t) \varphi(t) dt \right]' = \\ &= \frac{\lambda \text{sh}(x-1)}{\text{sh } 1} \int_0^x \text{ch}(t) \varphi(t) dt + \frac{\lambda \text{ch}(x-1)}{\text{sh } 1} \left(\int_0^x 0 dt + 1 \cdot \text{ch}(x) \varphi(x) - 0 \right) = \\ &= \frac{\lambda \text{sh}(x-1)}{\text{sh } 1} \int_0^x \text{ch}(t) \varphi(t) dt + \frac{\lambda \text{ch}(x-1) \text{ch}(x) \varphi(x)}{\text{sh } 1} \end{aligned}$$

Аналогично, $I_2'(x)$:

$$\begin{aligned} I_2'(x) &= \left[\frac{\lambda \text{sh } x}{\text{sh } 1} \int_x^1 \text{ch}(t-1) \varphi(t) dt \right]' = \\ &= \frac{\lambda \text{sh } x}{\text{sh } 1} \int_x^1 \text{ch}(t-1) \varphi(t) dt - \frac{\lambda \text{ch}(x-1) \text{ch}(x) \varphi(x)}{\text{sh } 1} \end{aligned}$$

Таким образом, выражение для $\varphi'(x)$ принимает вид:

$$\varphi'(x) = \underbrace{\operatorname{sh} x + \frac{\lambda \operatorname{sh}(x-1)}{\operatorname{sh} 1} \int_0^x \operatorname{ch}(t) \varphi(t) dt}_{J_1(x)} + \underbrace{\frac{\lambda \operatorname{sh} x}{\operatorname{sh} 1} \int_x^1 \operatorname{ch}(t-1) \varphi(t) dt}_{J_2(x)} \quad (2.3)$$

Выполним дифференцирование ещё один раз:

$$\varphi''(x) = \operatorname{ch} x + J_1'(x) + J_2'(x)$$

Вновь применим формулу (2.2):

$$J_1'(x) = \frac{\lambda \operatorname{ch}(x-1)}{\operatorname{sh} 1} \int_0^x \operatorname{ch}(t) \varphi(t) dt + \frac{\lambda \operatorname{sh}(x-1) \operatorname{ch}(x) \varphi(x)}{\operatorname{sh} 1}$$

$$J_2'(x) = \frac{\lambda \operatorname{ch} x}{\operatorname{sh} 1} \int_x^1 \operatorname{ch}(t-1) \varphi(t) dt - \frac{\lambda \operatorname{ch}(x-1) \operatorname{sh}(x) \varphi(x)}{\operatorname{sh} 1}$$

Получаем значение $\varphi''(x)$:

$$\begin{aligned} \varphi''(x) = & \left[\operatorname{ch} x + \frac{\lambda \operatorname{ch}(x-1)}{\operatorname{sh} 1} \int_0^x \operatorname{ch}(t) \varphi(t) dt + \frac{\lambda \operatorname{ch} x}{\operatorname{sh} 1} \int_x^1 \operatorname{ch}(t-1) \varphi(t) dt \right] + \\ & + \frac{\lambda \operatorname{sh}(x-1) \operatorname{ch}(x) \varphi(x)}{\operatorname{sh} 1} - \frac{\lambda \operatorname{ch}(x-1) \operatorname{sh}(x) \varphi(x)}{\operatorname{sh} 1} \end{aligned}$$

Согласно (2.1), выражение в квадратных скобках представляет собой $\varphi(x)$, так что $\varphi''(x)$ равно:

$$\begin{aligned} \varphi''(x) &= \varphi(x) + \frac{\lambda \operatorname{sh}(x-1) \operatorname{ch}(x) \varphi(x)}{\operatorname{sh} 1} - \frac{\lambda \operatorname{sh}(x) \operatorname{ch}(x-1) \varphi(x)}{\operatorname{sh} 1} \\ &= \varphi(x) + \frac{\lambda \varphi(x)}{\operatorname{sh} 1} (\operatorname{sh}(x-1) \operatorname{ch}(x) - \operatorname{sh}(x) \operatorname{ch}(x-1)) \end{aligned}$$

Преобразуем гиперболический синус разности:

$$\operatorname{sh}(x-1) \operatorname{ch}(x) - \operatorname{sh}(x) \operatorname{ch}(x-1) = \operatorname{sh}((x-1) - x) = \operatorname{sh}(-1) = -\operatorname{sh} 1$$

Тогда окончательное выражение для $\varphi''(x)$ с учётом $\lambda = 2$ записывается в виде:

$$\varphi''(x) = \varphi(x) + \frac{\lambda \varphi(x)}{\operatorname{sh} 1} (-\operatorname{sh} 1) \Big|_{\lambda=2} = \varphi(x) - \lambda \varphi(x) \Big|_{\lambda=2} = -\varphi(x) \quad (2.4)$$

Итак, получено однородное дифференциальное уравнение второго порядка с постоянными коэффициентами:

$$\varphi''(x) + \varphi(x) = 0 \quad (2.5)$$

Из (2.3) получаем краевые условия второго рода:

$$\varphi'(0) = 0 \quad (2.6a)$$

$$\varphi'(1) = \operatorname{sh} 1 \quad (2.6b)$$

Итак, интегральное уравнение сведено к краевой задаче

$$\begin{cases} \varphi''(x) + \varphi(x) = 0 \\ \varphi'(0) = 0, \quad \varphi'(1) = \operatorname{sh} 1 \end{cases} \quad (2.7)$$

Общее решение дифференциального уравнения (2.5):

$$\varphi(x) = C_1 \sin x + C_2 \cos x \quad (2.8)$$

Применяя краевые условия (2.6), запишем значения констант C_1 и C_2 :

$$\varphi'(0) = 0 \implies (\{C_1 \cos x - C_2 \sin x\}|_{x=0} = C_1) = 0 \implies C_1 = 0$$

$$\begin{aligned} \varphi'(1) = \operatorname{sh} 1 &\implies (\{C_1 \cos x - C_2 \sin x\}|_{x=1, C_1=0} = -C_2 \sin 1) = \operatorname{sh} 1 \implies \\ &\implies C_2 = -\frac{\operatorname{sh} 1}{\sin 1} \end{aligned}$$

Таким образом, решением полученной краевой задачи и исходного интегрального уравнения (1.2) является функция $\varphi(x)$:

$$\varphi(x) = -\frac{\operatorname{sh} 1 \cdot \cos x}{\sin 1} \quad (2.9)$$

3. Решение в виде ряда по собственным функциям интегрального оператора

3.1. Теорема Гильберта—Шмидта

Функция $\psi_i(x)$ называется *собственной функцией* интегрального оператора $\hat{I}(f) = \int_a^b K(x, t)f(t) dt$ (ядра $K(x, t)$), если она является нетривиальным решением однородного интегрального уравнения

$$\psi_i(x) = \lambda_i \int_a^b K(x, t)\psi_i(t) dt \quad (3.1)$$

При этом λ_i называется *характеристическим числом*, соответствующим собственной функции $\psi_i(x)$, а обратная величина $\frac{1}{\lambda_i}$ — *собственным числом*. Характеристические числа симметричного ядра действительны. Последовательность собственных функций симметричного ядра *ортogonalна* и её можно сделать ортонормированной.

Теорема Гильберта—Шмидта гласит (см. [1]), что если функция $f(x)$ представима в виде

$$g(x) = \int_a^b K(x, t)\varphi(t) dt \quad (3.2)$$

где симметричное ядро $K(x, t)$ и функция $g(t)$ квадратично интегрируемы, то $f(x)$ можно разложить в ряд Фурье относительно ортонормированной системы собственных функций ядра $K(x, t)$:

$$g(x) = \sum_{k=0}^{\infty} a_k \psi_k(x) \quad (3.3)$$

где коэффициенты a_k вычисляются следующим образом:

$$a_k = \int_a^b g(x)\psi_k(x) dx = \int_a^b \frac{\varphi(x)}{\lambda_k} \psi_k(x) dx \quad (3.4)$$

Если при этом выполнено условие

$$\int_a^b K^2(x, t) dt \leq A < \infty \quad (3.5)$$

то ряд (3.3) сходится абсолютно и равномерно для всякой функции $g(x)$, удовлетворяющей условиям теоремы.

Сходимость ряда (3.3) равномерная и в случае непрерывности ядра $K(x, t)$ и функции $g(x)$.

3.2. Использование теоремы

Рассмотрим способ решения интегрального уравнения с применением теоремы Гильберта—Шмидта, изложенный в [5].

Пусть ядро уравнения (1.1) представимо в виде равномерно сходящегося ряда по ортонормированной системе своих собственных функций:

$$K(x, t) = \sum_{k=0}^{\infty} \left[\int_a^b K(x, t) \psi_k(t) dt \right] \psi_k(t) \quad (3.6)$$

С учётом (3.1) этот ряд приведём к виду

$$K(x, t) = \sum_{k=0}^{\infty} \frac{\psi_k(x) \psi_k(t)}{\lambda_k} \quad (3.7)$$

Преобразуем уравнение (1.1) к виду

$$\varphi(x) - f(x) = \lambda \int_a^b K(x, t) \varphi(t) dt \quad (3.8)$$

Применим к функции $\varphi(x) - f(x)$ теорему Гильберта—Шмидта:

$$\varphi(x) - f(x) = \sum_{k=0}^{\infty} a_k \psi_k(x) \quad (3.9)$$

Введём обозначения для $a_k = \int_a^b [\varphi(x) - f(x)] \psi_k(x) dx$:

$$a_k = \int_a^b \varphi(x) \psi_k(x) dx - \int_a^b f(x) \psi_k(x) dx = \varphi_k - f_k \quad (3.10)$$

Теперь преобразуем правую часть (3.8) с учётом (3.7) и обозначений (3.10):

$$\begin{aligned} \lambda \int_a^b K(x, t) \varphi(t) dt &= \lambda \int_a^b \sum_{k=0}^{\infty} \frac{\psi_k(x) \psi_k(t)}{\lambda_k} \varphi(t) dt = \\ &= \lambda \sum_{k=0}^{\infty} \left[\int_a^b \varphi(t) \psi_k(t) dt \right] \frac{\psi_k(x)}{\lambda_k} = \lambda \sum_{k=0}^{\infty} \frac{\varphi_k \psi_k(x)}{\lambda_k} \end{aligned} \quad (3.11)$$

Приравняв коэффициенты при $\psi_k(x)$ в (3.9) и (3.11) и используя обозначение из (3.10), получим выражение для a_k :

$$a_k = \varphi_k - f_k = \lambda \frac{\varphi_k}{\lambda_k}$$

откуда следует

$$a_k = \frac{\lambda f_k}{\lambda_k - \lambda} \quad (3.12)$$

Значит, согласно (3.8)

$$\varphi(x) = f(x) + \lambda \sum_{k=0}^{\infty} \frac{f_k \psi_k(x)}{\lambda_k - \lambda} \quad (3.13)$$

Заметим, что для справедливости (3.13) параметр λ в уравнении не должен быть характеристическим числом. Случай, когда это условие не выполняется, подробно освещён в [2] и [5].

3.3. Применение метода

Известно (см. [5]), что предположение о представимости ядра $K(x, t)$ в виде ряда (3.7) справедливо, если это ядро симметрично, непрерывно в квадрате $S = \{0 \leq x \leq 1, 0 \leq t \leq 1\}$ и имеет в S равномерно ограниченные частные производные.

Симметричность и непрерывность рассматриваемого ядра (1.3) очевидны. Кроме того, в квадрате S частные производные ядра равномерно ограничены, поскольку в нём

$$\left| \frac{\partial K}{\partial x} = \frac{\text{sh}(x) \text{ch}(t-1)}{\text{sh} 1} \right| \leq \text{ch} 1 \quad \left| \frac{\partial K}{\partial t} = \frac{\text{ch}(x) \text{sh}(t-1)}{\text{sh} 1} \right| \leq \text{ch} 1$$

Кроме того, с учётом обозначенных свойств и квадратичной интегрируемости ядра $K(x, t)$ применима и теорема Гильберта—Шмидта, а в силу непрерывности функции $f(x) = \text{ch} x$ существуют интегралы f_k из (3.10). Так как $\varphi(x)$ и $f(x)$ непрерывны, ряд (3.9) сходится равномерно согласно условиям, обозначенным в разделе 3.1.

Таким образом, для построения решения по формуле (3.13) требуется:

- 1) Найти собственные функции $\psi_k(x)$ и характеристические значения λ_k ядра $K(x, t)$
- 2) Проверить, что параметр уравнения $\lambda \notin \lambda_k$
- 3) Вычислить коэффициенты $f_k = \int_a^b f(x) \psi_k(x) dx$

3.3.1. Построение ортонормированной системы собственных функций

Для поиска собственных функций ядра (1.3) сведём интегральное уравнение (3.1) к краевой задаче так, как это было сделано в разделе 2, получив в результате

$$\begin{cases} \psi_k''(x) + (\lambda_k - 1)\psi_k(x) = 0 \\ \psi_k'(0) = 0, \quad \psi_k'(1) = 0 \end{cases} \quad (3.14)$$

Для решения данной краевой задачи рассмотрим три области значений характеристических чисел λ_k .

1) $\lambda_k = 1$

Присвоим такое значение характеристическому числу λ_0 . Уравнение (3.14) приводится к виду

$$\psi_0''(x) = 0$$

Его общее решение имеет вид

$$\psi_0(x) = C_1 x + C_2$$

Из краевых условий получаем $C_1 = 0 \implies \psi_0(x) = C_2$, в целях нормировки выберем значение $C_2 = 1$.

Итак, характеристическому значению $\lambda_0 = 1$ соответствует собственная функция (очевидно нормированная)

$$\psi_0(x) = 1$$

2) $\lambda_k > 1$

Обозначим $\lambda_k - 1 = h^2 > 0$, получив уравнение

$$\psi_k''(x) + h^2 \psi_k(x) = 0$$

здесь $k = 1, 2, \dots$

Его общим решением является функция вида

$$\psi_k(x) = C_1 \cos hx + C_2 \sin hx$$

Из первого краевого условия получим

$$\psi_k'(0) = 0 \implies (\{-hC_1 \sin hx + hC_2 \cos hx\}|_{x=0} = hC_2) = 0 \implies C_2 = 0$$

откуда $\psi_k(x) = C_1 \cos hx$. Для поиска C_1 воспользуемся вторым краевым условием

$$\psi_k'(1) = 0 \implies (\{-hC_1 \sin hx\}|_{x=1} = -hC_1 \sin h) = 0$$

откуда $h = \pi n, n \in \mathbb{Z}$, поскольку иначе $C_1 = 0$ и решение получается тривиальным, что противоречит определению собственных функций.

С учётом выполненной замены $h^2 = \lambda_k - 1$,

$$\lambda_k = \pi^2 n^2 + 1, n \in \mathbb{Z}$$

Заметим, что при значения λ_k не меняются от смены знака n и при $n = 0$ не выполняется условие $\lambda_k > 1$. Поэтому можно взять лишь значения $n \in \mathbb{N}$. Тогда не ограничивая общности

можно положить $n = k$, получив следующую систему характеристических чисел:

$$\lambda_k = \pi^2 k^2 + 1, \quad k \in \mathbb{N}$$

Соответствующая система собственных функций определяется следующим образом:

$$\psi_k = C_1 \cos \pi k x$$

Нормировку ψ_k выполним, выбрав параметр $C_1 = \sqrt{2}$, поскольку в таком случае

$$C_1^2 \int_0^1 \cos^2 \pi k x \, dx = 2 \cdot \frac{1}{2} = 1$$

Таким образом, в данной области найдена ортонормированная система собственных функций и характеристических чисел

$$\begin{aligned} \psi_k &= \sqrt{2} \cos \pi k x \\ \lambda_k &= \pi^2 k^2 + 1 \end{aligned}$$

где $k = 1, 2, \dots$

3) $\lambda_k < 1$

Вводя обозначение $1 - \lambda_k = h^2$, получим уравнение

$$\psi_k''(x) - h^2 \psi_k(x) = 0$$

Для него известен общий вид решения:

$$\psi_k(x) = C_1 \operatorname{ch} h x + C_2 \operatorname{sh} h x$$

Из первого краевого условия следует

$$\psi_k'(0) = 0 \implies (\{h C_1 \operatorname{sh} h x + h C_2 \operatorname{ch} h x\}|_{x=0} = h C_2) = 0 \implies C_2 = 0$$

так что $\psi_k(x) = C_1 \operatorname{ch} h x$. Согласно второму краевому условию,

$$\psi_k'(1) = 0 \implies (\{h C_1 \operatorname{sh} h x\}|_{x=1} = h C_1 \operatorname{sh} h) = 0$$

Поскольку $C_1 \neq 0$, получаем $h = 0 \implies \lambda_k = 1$, что противоречит предположению $\lambda_k < 1$. Значит, в данной области у рассматриваемого интегрального оператора характеристических значений нет.

Итак, в результате решения краевой задачи (3.14) найдена ортонормированная система собственных функций $\{\psi_i(x)\}$:

$$\begin{cases} \psi_0(x) = 1 \\ \psi_k(x) = \sqrt{2} \cos \pi k x, \quad k \in \mathbb{N} \end{cases} \quad (3.15)$$

с соответствующими характеристическими значениями

$$\begin{cases} \lambda_0 = 1 \\ \lambda_k = \pi^2 k^2 + 1, \quad k \in \mathbb{N} \end{cases} \quad (3.16)$$

Из (3.16) следует, что данное по условию значение параметра $\lambda = 2$ не принадлежит $\{\lambda_i\}$, так что формула (3.13) остаётся справедливой.

3.3.2. Вычисление коэффициентов ряда

Для построения ряда (3.13) необходимо определить значения коэффициентов f_k .

Первый коэффициент вычисляется элементарно:

$$f_0 = \int_0^1 \operatorname{ch} x \, dx = \operatorname{sh} 1 \quad (3.17)$$

Для вычисления коэффициентов f_1, f_2, \dots найдём значение интеграла $J_k = \int_0^1 \operatorname{ch}(x) \cos(\pi k x) \, dx$ (так что $f_k = \sqrt{2} \cdot J_k$), воспользовавшись интегрированием по частям:

$$\begin{aligned} J_k &= \int_0^1 \operatorname{ch}(x) \cos(\pi k x) \, dx = \underbrace{\frac{\operatorname{ch}(x) \sin(\pi k x)}{\pi k} \Big|_0^1}_0 - \int_0^1 \frac{\operatorname{sh}(x) \sin(\pi k x)}{\pi k} \, dx = \\ &= \underbrace{\frac{\operatorname{sh}(x) \cos(\pi k x)}{\pi^2 k^2} \Big|_0^1}_{\frac{\operatorname{sh} 1 \cdot (-1)^k}{\pi^2 k^2}} - \underbrace{\int_0^1 \frac{\operatorname{ch}(x) \cos(\pi k x)}{\pi^2 k^2} \, dx}_{\frac{J_k}{\pi^2 k^2}} \end{aligned}$$

откуда получаем J_k :

$$J_k = \frac{\operatorname{sh} 1 \cdot (-1)^k}{\pi^2 k^2 + 1}$$

Таким образом, коэффициенты f_k для $k \in \mathbb{N}$ равны

$$f_k = \frac{\sqrt{2} \cdot \operatorname{sh} 1 \cdot (-1)^k}{\pi^2 k^2 + 1} \quad (3.18)$$

Подставляя теперь известные f_k, λ_k, ψ_k и $\lambda = 2$ в (3.13), получим решение уравнения в виде ряда по системе функций $\{\psi_i\}$:

$$\begin{aligned}\varphi(x) &= f(x) + 2 \sum_{k=0}^{\infty} \left[f_k \cdot \frac{\psi_k(x)}{\lambda_k - 2} \right] = \\ &= f(x) - 2 \operatorname{sh} 1 + 2 \sum_{k=1}^{\infty} \left[\frac{\sqrt{2} \cdot \operatorname{sh} 1 \cdot (-1)^k}{\pi^2 k^2 + 1} \cdot \frac{\sqrt{2} \cos \pi k x}{\pi^2 k^2 - 1} \right] = \\ &= f(x) + \operatorname{sh} 1 \left(-2 + 4 \sum_{k=1}^{\infty} \frac{(-1)^k \cos \pi k x}{\pi^4 k^4 - 1} \right) \quad (3.19)\end{aligned}$$

Отметим высокую скорость сходимости ряда (3.19) (как у ряда $\sum_{k=1}^{\infty} \frac{(-1)^k}{k^4}$).

3.4. Реализация

Следующая программа написана на языке среды символьных вычислений **Maxima** и реализует построение решения $\varphi(x)$ как частичную сумму ряда (3.19), после чего записывает график полученной функции в файл.

Использование **Maxima** обусловлено возможностью реализовать алгоритм на уровне абстракции, весьма близком к математическому описанию из раздела 3.3.

Программа не содержит большого числа операций:

```
< * 13a>≡
<установка исходных данных 13b>
<построение частичной суммы ряда 14b>
<запись графика полученного решения в файл 14e>
```

На первом этапе устанавливаются данные по условию значения пределов интегрирования и параметра λ , вид функции $f(x)$.

```
<установка исходных данных 13b>≡ (13a)
```

```
<отрезок интегрирования 13c>
<параметр  $\lambda$  13d>
<неоднородность в правой части 13e>
<число членов в частичной сумме ряда 14a>
```

```
<отрезок интегрирования 13c>≡ (13b)
```

```
a: 0;
b: 1;
```

```
<параметр  $\lambda$  13d>≡ (13b)
```

```
lambda: 2;
```

```
<неоднородность в правой части 13e>≡ (13b)
```

```
f(x) := cosh(x);
```

Верхний предел n в сумме (3.13) вводится с клавиатуры:

$$\langle \text{число членов в частичной сумме ряда 14a} \rangle \equiv \text{n: read("n=?");} \quad (13b)$$

Для построения ряда необходимо сначала установить в коде программы вид собственных функций и характеристических значений. Затем определяются коэффициенты f_k , после чего построение решения в виде частичной суммы ряда выполняется согласно (3.13) по следующей формуле:

$$\varphi_n(x) = f(x) + \lambda \sum_{k=0}^{n-1} \frac{f_k \psi_k(x)}{\lambda_k - \lambda}$$

в два шага — сначала строится часть с суммой, после чего сумма умножается на λ и складывается с неоднородностью уравнения, что и даёт приближённое решение.

$$\langle \text{построение частичной суммы ряда 14b} \rangle \equiv \begin{aligned} &\langle \text{установка систем } \psi_k(x) \text{ и } \lambda_k \text{ 14c} \rangle \\ &\langle \text{вычисление значений } f_k \text{ 14d} \rangle \\ &\text{series: sum(f_k(k) * eigenfun(k) / (eigenval(k) - lambda), k, 0, n-1);} \\ &\text{solution(x) := f(x) + lambda * at(series, 'x=x);} \end{aligned} \quad (13a)$$

Функции `eigenfun` и `eigenval` определены согласно (3.15) и (3.16) и возвращают выражение для определяемой параметром k собственной функции $\psi_k(x)$ или характеристического числа λ_k , соответственно.

$$\langle \text{установка систем } \psi_k(x) \text{ и } \lambda_k \text{ 14c} \rangle \equiv \begin{aligned} &\text{eigenfun(k) := if (k=0) then 1 else sqrt(2) * cos(\%pi*k*x);} \\ &\text{eigenval(k) := if (k=0) then 1 else 1 + (\%pi*k)^2;} \end{aligned} \quad (14b)$$

Коэффициент f_k вычисляется функцией `f_k` по формуле $f_k = \int_a^b f(x) \psi_k(x) dx$.

$$\langle \text{вычисление значений } f_k \text{ 14d} \rangle \equiv \text{f_k(k) := integrate(f(x) * eigenfun(k), x, a, b);} \quad (14b)$$

$$\langle \text{запись графика полученного решения в файл 14e} \rangle \equiv \begin{aligned} &\text{plot2d([solution(x)], [x, a, b], [nticks, 1], [adapt_depth, 1],} \\ &\quad \text{[gnuplot_preamble, ssubst(string(n),} \\ &\quad \quad \text{"x", "set table \"series-x.mac.out\\\"")])}; \end{aligned} \quad (13a)$$

3.5. Сравнение с аналитическим решением

На рисунке 1 сплошной линией изображён график аналитического решения, точками обозначены значения приближённого решения при соответствующих значениях x . Для построения графика была выбрана частичная сумма ряда из 5 членов.

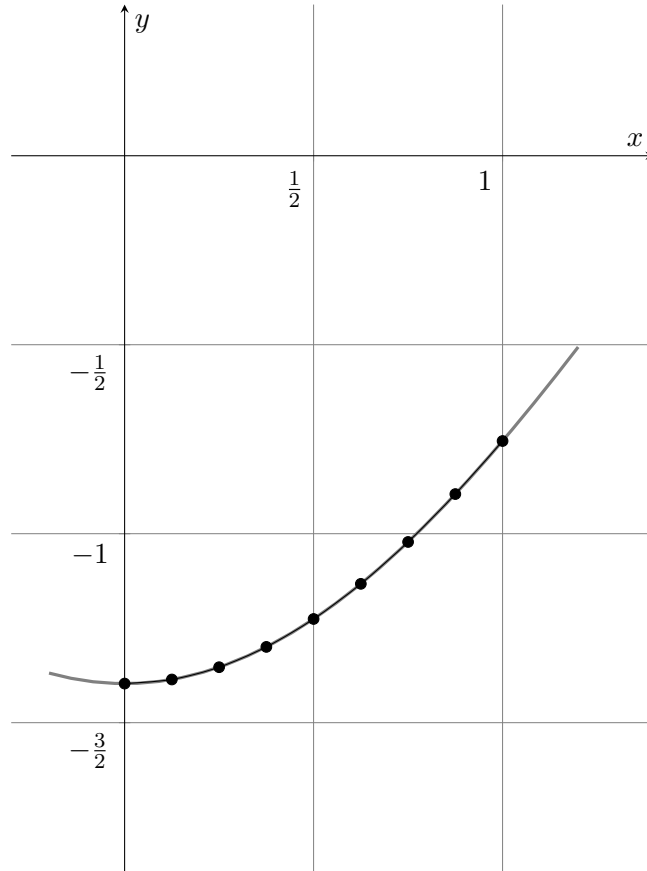


Рис. 1. Точное решение — (2.9) и решение в виде ряда \bullet (3.19) при количестве членов ряда $n = 5$

4. Численное решение

4.1. Описание метода

Воспользуемся квадратурной формулой для вычисления определённого интеграла $\int_a^b K(x, t)\varphi(t) dt$ в (1.1).

Пусть на отрезке интегрирования $[a; b]$ введена равномерная сетка $\Xi_n = \langle a = \tau_1, \dots, \tau_n = b \rangle$ с шагом $h = \frac{b-a}{n-1}$. Тогда квадратурная формула трапеций принимает вид (см. [4]):

$$\int_a^b f(x) dx \approx h \left[\frac{f(\tau_1) + f(\tau_n)}{2} + \sum_{j=2}^{n-1} f(\tau_j) \right] \quad (4.1)$$

С учётом (4.1) интегральное уравнение (1.1) в приближённом виде записывается следующим образом:

$$\varphi(x) - \lambda h \left[\frac{K(x, \tau_1)\varphi(\tau_1) + K(x, \tau_n)\varphi(\tau_n)}{2} + \sum_{j=2}^{n-1} K(x, \tau_j)\varphi(\tau_j) \right] = f(x)$$

Записывая его для каждого $x = \tau_i \in \Xi_n$, получим систему линейных уравнений:

$$\varphi(\tau_i) - \lambda h \left[\frac{K(\tau_i, \tau_1)\varphi(\tau_1) + K(\tau_i, \tau_n)\varphi(\tau_n)}{2} + \sum_{j=2}^{n-1} K(\tau_i, \tau_j)\varphi(\tau_j) \right] = f(\tau_i)$$

В матричном виде эта система имеет вид:

$$(E_n - \lambda B)^{\vee} \varphi = {}^{\vee} f \quad (4.2)$$

В системе (4.2) матрица E_n — единичная размера $n \times n$, а B состоит из элементов b_j^i , определяемых как

$$b_j^i = \begin{cases} \frac{1}{2}hK(\tau_i, \tau_j) & j = 1, j = n \\ hK(\tau_i, \tau_j) & j = 2, n-1 \end{cases} \quad (4.3)$$

Решение системы (4.2) представляет собой вектор ${}^{\vee} \varphi$, состоящий из значений функции $\varphi(x)$ в точках сетки Ξ_n :

$${}^{\vee} \varphi = \begin{pmatrix} \varphi(\tau_1) \\ \varphi(\tau_2) \\ \vdots \\ \varphi(\tau_n) \end{pmatrix} \quad (4.4)$$

4.2. Реализация

Представленная программа является реализацией приближённого метода решения интегрального уравнения в среде GNU Octave.

Общая структура программы такова:

```
< * 17a>≡  
  <установка исходных данных 17b>  
  <вычисление шага и построение сетки 18a>  
  <построение и решение системы 18b>  
  <запись решения в файл 18f>
```

Для работы программы необходимо установить исходные данные, соответствующие постановке задачи (см. 1).

```
<установка исходных данных 17b>≡ (17a)  
  <отрезок интегрирования 17c>  
  <параметр  $\lambda$  17d>  
  <ядро интегрального уравнения 17e>  
  <неоднородность в правой части 17f>  
  <количество точек в сетке 17g>
```

```
<отрезок интегрирования 17c>≡ (17b)  
  a = 0  
  b = 1
```

```
<параметр  $\lambda$  17d>≡ (17b)  
  lambda = 2
```

```
<ядро интегрального уравнения 17e>≡ (17b)  
function K = K (x, t)  
  if ((0 <= x) & (x <= t))  
    K = cosh(x)*cosh(t-1)/sinh(1);  
  else  
    K = cosh(t)*cosh(x-1)/sinh(1);  
  endif  
endfunction
```

```
<неоднородность в правой части 17f>≡ (17b)  
function f = f (x)  
  f = cosh(x);  
endfunction
```

Требуемое количество точек в сетке Ξ_n вводится с клавиатуры.

```
<количество точек в сетке 17g>≡ (17b)  
  n = input("n=? ")
```

Конструкция $a : h : b$ возвращает сетку с шагом h на отрезке от a до b

$$\langle \text{вычисление шага и построение сетки 18a} \rangle \equiv \begin{aligned} h &= (b - a) / (n - 1) \\ \text{tau} &= a : h : b; \end{aligned} \quad (17a)$$

$$\langle \text{построение и решение системы 18b} \rangle \equiv \begin{aligned} &\langle \text{построение матрицы } B \text{ 18c} \rangle \\ &\langle \text{построение вектора } {}^\vee f \text{ 18d} \rangle \\ &\langle \text{решение системы 18e} \rangle \end{aligned} \quad (17a)$$

В Octave матрицы динамически изменяют свои размеры при присваивании нового значения несуществующему элементу матрицы. Поскольку конечные размеры матрицы B известны ($n \times n$), в целях оптимизации выгоднее сразу проинициализировать её нулями при помощи `zeros`, чтобы сэкономить на операциях выделения дополнительной памяти.

$$\langle \text{построение матрицы } B \text{ 18c} \rangle \equiv \quad (18b)$$

```
B = zeros(n);
for i = 1:n
    for j = 1:n
        if ((j == 1) | (j == n))
            factor = 1/2;
        else
            factor = 1;
        endif
        B(i, j) = h * factor * K(tau(i), tau(j));
    endfor
endfor
```

$$\langle \text{построение вектора } {}^\vee f \text{ 18d} \rangle \equiv \quad (18b)$$

```
f_vector = zeros(n, 1);
for i = 1:n
    f_vector(i) = f(tau(i));
endfor
```

Вектор ${}^\vee \varphi$ находится из уравнения (4.2) как ${}^\vee \varphi = [E_n - \lambda B]^{-1} {}^\vee f$. Функция `eye` возвращает единичную матрицу заданного размера:

$$\langle \text{решение системы 18e} \rangle \equiv \begin{aligned} \text{phi_values} &= (\text{eye}(n) - \text{lambda}*B) \setminus \text{f_vector}; \end{aligned} \quad (18b)$$

$$\langle \text{запись решения в файл 18f} \rangle \equiv \begin{aligned} \text{points} &= [\text{tau}', \text{phi_values}] \\ \text{save} &(\text{sprintf("numeric-\%d.oct.out", n)}, \text{"points"}) \end{aligned} \quad (17a)$$

4.3. Сравнение с аналитическим решением

На иллюстрации 2 сплошной линией обозначен график аналитического решения, точками обозначены компоненты вектора $\forall \varphi$ при соответствующих значениях аргумента.

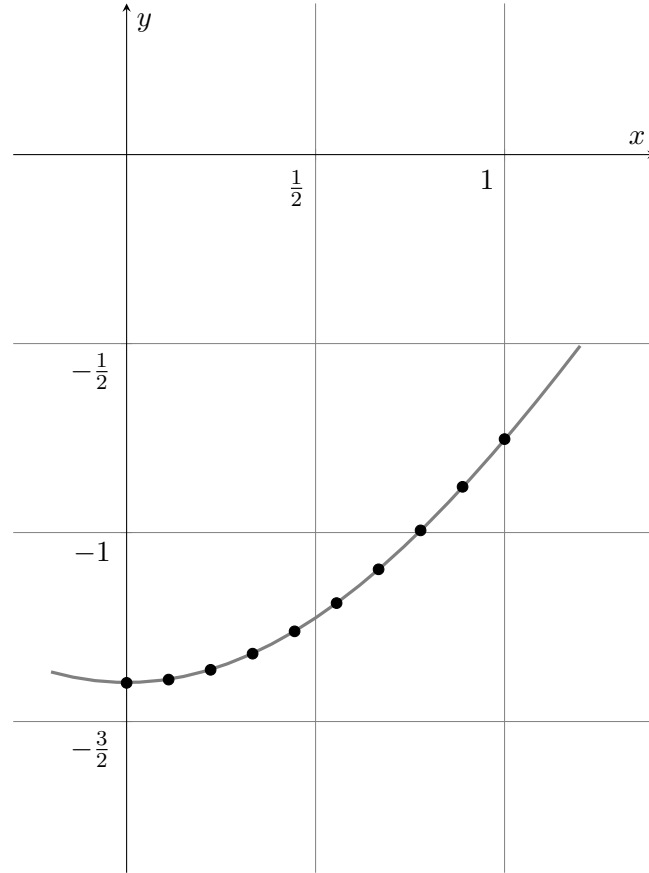


Рис. 2. Точное — (2.9) и численное решение • (4.4) при количестве точек в сетке $n = 10$

А. Информация о документе

Данный документ был подготовлен с использованием L^AT_EX. Для построения ряда в разделе 3.1 применялась система **Maxima**. Программа из раздела 4.2 написана в среде **GNU Octave**. Код представлен с использованием **noweb**. Иллюстрации созданы с помощью пакета **pgfplots** и **gnuplot**.

Автоматизация процесса сборки обеспечивалась утилитами **GNU Make** и **texdepend**.

Представленная работа выполнена в рамках программы пятого семестра обучения по специальности «Вычислительная математика и математическая физика» в МГТУ им. Н. Э. Баумана.

Дата компиляции настоящего документа: 11 декабря 2009 г.

Б. Список литературы

- [1] *Краснов М. Л.* Интегральные уравнения. Введение в теорию. — М.: Наука, 1975. — С. 214.
- [2] *Краснов М. Л., Киселев А. И., Макаренко Г. И.* Интегральные уравнения. — 2 изд. — М.: Наука, 1976. — С. 80–81.
- [3] *Фихтенгольц Г. М.* Курс дифференциального и интегрального исчисления. — 8 изд. — М.: Физматлит, 2003. — Т. 2. — С. 718.
- [4] *Бахвалов Н. С., Жидков Н. П., Кобельков Г. М.* Численные методы. — М.: Физматлит, 2001.
- [5] *Полянин А. Д., Манжиров А. В.* Справочник по интегральным уравнениям. — М.: Физматлит, 2003. — С. 477–479.